

# Ni掺杂黄铁矿型FeS<sub>2</sub>的溶剂热合成及其可见光催化活性

龙飞<sup>\*1,2</sup> 张劲<sup>2</sup> 张明月<sup>2</sup> 何金云<sup>1,2</sup> 武晓鹏<sup>1,2</sup> 邹正光<sup>1,2</sup>

(<sup>1</sup>有色金属及材料加工新技术教育部重点实验室,桂林 541004)

(<sup>2</sup>桂林理工大学材料科学与工程学院,桂林 541004)

**摘要:**以FeSO<sub>4</sub>·7H<sub>2</sub>O、Na<sub>2</sub>S<sub>2</sub>O<sub>3</sub>·5H<sub>2</sub>O和NiSO<sub>4</sub>·6H<sub>2</sub>O为原料,采用溶剂热法合成了Ni掺杂的黄铁矿FeS<sub>2</sub>粉体,利用XRD、XPS、FE-SEM、UV-Vis、拉曼光谱等测试手段对所得产物进行了表征分析。结果表明,掺杂适量的Ni可促进白铁矿FeS<sub>2</sub>向黄铁矿FeS<sub>2</sub>的晶型转变。Ni掺杂有利于提高Ni<sub>x</sub>Fe<sub>1-x</sub>S<sub>2</sub>的可见光催化活性,当Ni的掺入量x为0.125时,样品的光催化性能最好。在可见光照射210 min后,亚甲基蓝的降解率为62.8%,与未掺杂FeS<sub>2</sub>相比,其降解率提高了26.2%。

**关键词:**溶剂热合成; FeS<sub>2</sub>; Ni掺杂; 光催化活性; 亚甲基蓝

中图分类号: O614.81<sup>+3</sup> 文献标识码: A 文章编号: 1001-4861(2015)06-1119-06

DOI: 10.11862/CJIC.2015.179

## Ni-Doped FeS<sub>2</sub>: Solvothermal Synthesis and the Visible-Light Photocatalytic Properties

LONG Fei<sup>\*1,2</sup> ZHANG Jin<sup>2</sup> ZHANG Ming-Yue<sup>2</sup> HE Jin-Yun<sup>1,2</sup> WU Xiao-Li<sup>1,2</sup> ZOU Zheng-Guang<sup>1,2</sup>

(<sup>1</sup>Key Laboratory of Nonferrous Materials and New Processing Technology of Ministry of Education, Guilin, Guangxi 541004, China)

(<sup>2</sup>School of Materials Science and Engineering, Guilin University of Technology, Guilin, Guangxi 541004, China)

**Abstract:** Ni-doped pyrite FeS<sub>2</sub> were synthesized through a solvothermal method using FeSO<sub>4</sub>·7H<sub>2</sub>O, Na<sub>2</sub>S<sub>2</sub>O<sub>3</sub>·5H<sub>2</sub>O and NiSO<sub>4</sub>·6H<sub>2</sub>O as raw materials. The products were characterized by X-ray diffraction (XRD), X-ray Photoelectron Spectroscopy (XPS), field emission scanning electron microscope (FE-SEM), UV-Vis diffuse reflectance spectra (DRS) and Raman spectroscopy. The results showed that appropriate amount of Ni doping facilitated the transformation of the marcasite to pyrite. After Ni<sup>2+</sup> doping, the visible-light-driven photocatalytic performance of the FeS<sub>2</sub> was greatly enhanced. Methylene blue (MB) was decomposed 62.8% within 210 min using Ni<sub>0.125</sub>Fe<sub>0.875</sub>S<sub>2</sub> as photocatalyst, which was 26.2% higher than that of the pristine FeS<sub>2</sub>.

**Key words:** solvothermal synthesis; FeS<sub>2</sub>; Ni doping; photocatalytic activity; methylene blue

## 0 引言

CoS<sub>2</sub>、FeS<sub>2</sub>和MoS<sub>2</sub>等过渡金属硫化物具有优良的电学、光学和磁学性能,可广泛应用于太阳能光电转换<sup>[1-2]</sup>和锂离子电池<sup>[3]</sup>等领域。FeS<sub>2</sub>作为一种过渡金属硫化物,具有白铁矿和黄铁矿两种晶体结构<sup>[4]</sup>。其中,立方晶系黄铁矿型FeS<sub>2</sub>具有较高的光吸收系数( $\lambda \leq 700$  nm时,光吸收系数不小于 $5 \times 10^5$

cm<sup>-1</sup>)、合适的禁带宽度( $E_g=0.95$  eV),并且原料来源丰富、无毒、环境相容性好,在光伏<sup>[5-6]</sup>和锂离子电池<sup>[7-8]</sup>等领域都是很有发展潜力的材料。FeS<sub>2</sub>还有望应用于光催化材料<sup>[9]</sup>,但FeS<sub>2</sub>的带隙偏小,光催化活性不高,尤其是其可见光催化活性未见报导。

金属离子掺杂是改善半导体材料理化性质的一种有效方法,利用该项技术在催化领域已取得了很好的成效<sup>[10-12]</sup>。近些年,FeS<sub>2</sub>的掺杂改性研究取得

收稿日期:2014-11-18。收修改稿日期:2015-04-30。

国家自然科学基金(No.51162005),广西自然科学基金(No.2012GXNSFFA060007)资助项目。

\*通讯联系人。E-mail:long.drf@gmail.com

了一定的进展:如张辉等<sup>[13]</sup>分别采用离子注入和磁控溅射法对FeS<sub>2</sub>薄膜进行了Zn和Co元素掺杂,结果表明,通过离子注入法掺杂Zn和Co元素后,薄膜的光吸收系数和禁带宽度得到了提高,但薄膜的光学性能有所降低;Xia等<sup>[14]</sup>采用溶剂热法成功合成了Sn<sup>4+</sup>掺杂的FeS<sub>2</sub>薄膜,掺杂Sn<sup>4+</sup>后,FeS<sub>2</sub>薄膜的禁带宽度提高到了1.71 eV;Han等<sup>[15]</sup>制备了一系列Co掺杂的FeS<sub>2</sub>,发现产物的形貌的和磁性能随着Co的掺入发生了较大的变化。本课题组的前期工作中,也开展了FeS<sub>2</sub>的Co掺杂研究,当每摩尔FeS<sub>2</sub>中掺入0.33 mol的Co时,在可见光下照射210 min后,亚甲基蓝的降解率达48.9%<sup>[16]</sup>。鉴于这些研究成果,本文通过溶剂热法合成Ni掺杂的FeS<sub>2</sub>,对FeS<sub>2</sub>的带隙进行调控,试图进一步研究Ni元素对FeS<sub>2</sub>可见光催化活性的影响。

## 1 实验部分

### 1.1 样品合成

FeS<sub>2</sub>光催化剂的制备:分别称取5 mmol的FeSO<sub>4</sub>·7H<sub>2</sub>O和Na<sub>2</sub>S<sub>2</sub>O<sub>3</sub>·5H<sub>2</sub>O放入25 mL乙醇和乙二醇的混合溶剂中(其中:乙醇5 mL、乙二醇20 mL),置于磁力搅拌器中搅拌溶解30 min。待原料完全溶解至溶液澄清后,将溶液转移至带有聚四氟乙烯内胆的不锈钢反应釜中,密封后放入烘箱中,在200 ℃下反应24 h。反应结束后将其自然冷却至室温取出,将所得产物分别用去离子水和无水乙醇离心洗涤数次,将洗涤后所得产物放入真空干燥箱中80℃下干燥8 h,得到黄铁矿FeS<sub>2</sub>光催化剂。

Ni<sub>x</sub>Fe<sub>1-x</sub>S<sub>2</sub>(x=0.1,0.125,0.2)光催化剂的制备:分别称取5 mmol的FeSO<sub>4</sub>·7H<sub>2</sub>O和Na<sub>2</sub>S<sub>2</sub>O<sub>3</sub>·5H<sub>2</sub>O放入25 mL乙醇和乙二醇的混合溶剂中(其中:乙醇5 mL、乙二醇20 mL),再按照n<sub>Ni</sub>:n<sub>Fe</sub>=x:(1-x)的比例,加入不同质量的NiSO<sub>4</sub>·6H<sub>2</sub>O于反应溶液中,置于磁力搅拌器中搅拌溶解30 min;将溶液转移至带有聚四氟乙烯内胆的不锈钢反应釜中,密封后放入烘箱中,在200 ℃下反应24 h。反应结束后将其自然冷却至室温取出,将所得产物分别用去离子水和无水乙醇离心洗涤数次,将洗涤后所得产物放入真空干燥箱中80 ℃下干燥8 h,制备得到不同Ni掺杂量的FeS<sub>2</sub>光催化剂。

### 1.2 样品表征

采用X射线粉末衍射仪(荷兰帕纳科公司X'Pert PRO型)对样品的物相进行分析,工作参数:铜

靶( $\lambda=0.154\text{056 nm}$ ),加速电压40 kV,电流10 mA,扫描速度0.02°·s<sup>-1</sup>,扫描范围10°~80°;采用X射线光电子能谱仪(ESCALAB 250Xi型)对样品的元素存在形态进行分析;采用场发射扫描电子显微镜(Hitachi S-4800型)对合成产物的形貌进行表征;采用紫外-可见分光光度计(Shimadzu UV-3600型)测定产物的紫外-可见吸收光谱(以BaSO<sub>4</sub>作为参比样)。

### 1.3 光催化性能测试

光催化反应在BL-GHX-V型(上海,比朗)光催化反应器中进行。光反应器中心光源为400 W的金卤灯(金卤灯与反应器间加入滤光片, $\lambda>420\text{ nm}$ )。在光催化反应中,亚甲基蓝溶液的初始浓度为10 mg·L<sup>-1</sup>,溶液体积为50 mL,催化剂的用量为50 mg。在光催化反应前,将含催化剂的亚甲基蓝悬浮液在黑暗条件下搅拌吸附40 min使溶液达到物理吸附和脱附平衡,然后打开光源,在400 W金卤灯光源下边照射边搅拌。光照每隔一段时间取出约5 mL样液,进行高速离心分离(9 000 r·min<sup>-1</sup>),以除去样液中的催化剂颗粒,得到上清液;用UV-3600型分光光度计在664 nm(亚甲基蓝的最大吸收波长)处测定上清液的吸光度。根据 $(C_0-C_t)/C_0$ (其中 $C_0$ 为亚甲基蓝溶液的初始浓度, $C_t$ 为光催化反应不同时刻后亚甲基蓝溶液的浓度)公式计算亚甲基蓝溶液的降解率。

## 2 结果与讨论

### 2.1 样品的X射线衍射图

图1是未掺杂FeS<sub>2</sub>和Ni<sub>x</sub>Fe<sub>1-x</sub>S<sub>2</sub>(x=0.1,0.125,0.2)样品的X射线衍射图。从图中可以看出,所有产物的特征峰均对应于立方晶系黄铁矿(pyrite)FeS<sub>2</sub>(JCPDS No.71-0053)。但未掺杂FeS<sub>2</sub>中含有少量的白铁矿(makasite)杂峰,当掺入一定量的Ni<sup>2+</sup>后,产物中白铁矿的特征峰消失,且衍射峰向低角度方向偏移,但当Ni的掺杂量增加到0.2时,产物中出现了NiS<sub>2</sub>的特征峰。

由于所掺杂的Ni<sup>2+</sup>与Fe<sup>2+</sup>离子半径不同( $r_{\text{Ni}^{2+}}=0.069\text{ nm}, r_{\text{Fe}^{2+}}=0.061\text{ nm}$ ),掺杂少量Ni<sup>2+</sup>时,Ni<sup>2+</sup>替代了晶格中部分Fe<sup>2+</sup>的格点形成了替位点缺陷,在替代原子附近,会导致晶格发生一定程度的变化,使这些位置的能量增高,因而促进了白铁矿相向黄铁矿相的转变。而Ni<sup>2+</sup>替代晶格中部分Fe<sup>2+</sup>的格点后会导致晶格膨胀,同时也使得原有晶体结构的有序

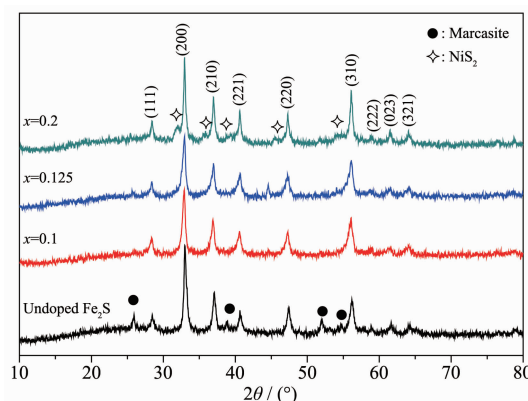


图1 未掺杂FeS<sub>2</sub>和Ni<sub>x</sub>Fe<sub>1-x</sub>S<sub>2</sub>(x=0.1, 0.125, 0.2)样品的XRD图

Fig.1 XRD patterns of the undoped FeS<sub>2</sub> and Ni<sub>x</sub>Fe<sub>1-x</sub>S<sub>2</sub> (x=0.1, 0.125, 0.2) samples

度降低,因此,产物的衍射峰向低角度偏移并且衍射峰强度略有减弱。继续增大Ni<sup>2+</sup>的掺杂量至x=0.2时,产物中出现了NiS<sub>2</sub>的相,说明此时(Ni,Fe)S<sub>2</sub>体系中Ni与Fe不能形成连续固溶体,过多的Ni会使得体系分相。

## 2.2 样品的拉曼光谱分析

图2为未掺杂FeS<sub>2</sub>与Ni<sub>x</sub>Fe<sub>1-x</sub>S<sub>2</sub>(x=0.1, 0.125)样品的拉曼光谱图。从图中可以看出:未掺杂的FeS<sub>2</sub>样品的拉曼光谱图中,分别位于344、381和430 cm<sup>-1</sup>的特征峰与文献报导的黄铁矿FeS<sub>2</sub>的拉曼光谱相一致<sup>[17]</sup>,但未掺杂的FeS<sub>2</sub>样品在326 cm<sup>-1</sup>处出现了较弱的白铁矿的拉曼特征峰,说明样品中含有少量的白铁矿FeS<sub>2</sub>。当掺入一定量的Ni<sup>2+</sup>后,样品中只有位于344、381和430 cm<sup>-1</sup>的黄铁矿FeS<sub>2</sub>的特征峰,而没有出现白铁矿的特征峰,说明掺入Ni<sup>2+</sup>后,样品为纯的黄铁矿FeS<sub>2</sub>,这与XRD的结果相一致。

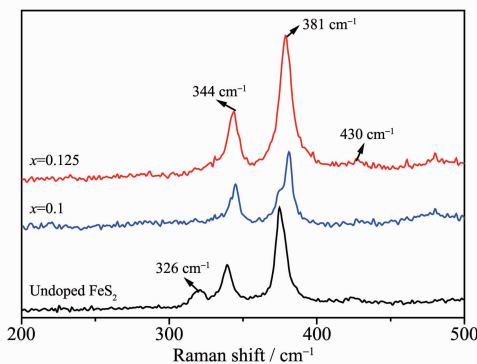
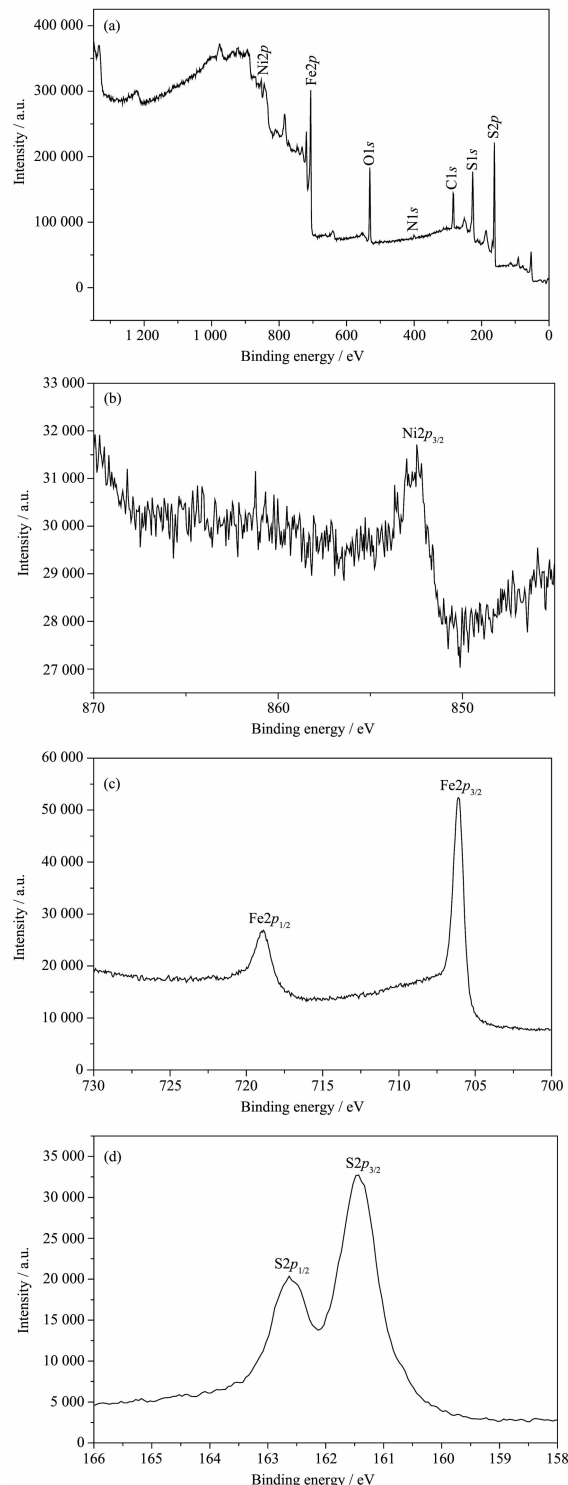


图2 未掺杂FeS<sub>2</sub>和Ni<sub>x</sub>Fe<sub>1-x</sub>S<sub>2</sub>(x=0.1, 0.125, 0.2)样品的拉曼光谱图

Fig.2 Raman spectra of the undoped FeS<sub>2</sub> and Ni<sub>x</sub>Fe<sub>1-x</sub>S<sub>2</sub> (x=0.1, 0.125, 0.2) samples

## 2.3 样品的光电子能谱分析

为研究样品中存在元素的价态,对Ni<sub>0.125</sub>Fe<sub>0.875</sub>S<sub>2</sub>样品进行了XPS分析,如图3所示。从图3(a)样品



(a) Whole-range spectrum, (b) Ni2p core-level spectrum, (c) Fe2p core-level spectrum, (d) S2p core-level spectrum

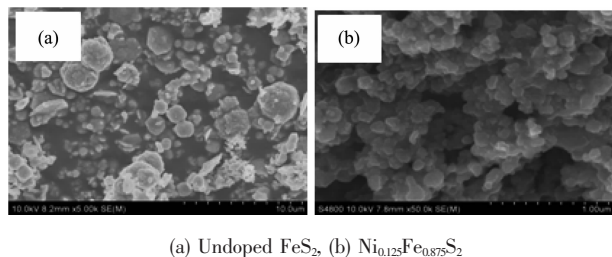
图3 Ni<sub>0.125</sub>Fe<sub>0.875</sub>S<sub>2</sub>样品的XPS图谱

Fig.3 XPS spectra of Ni<sub>0.125</sub>Fe<sub>0.875</sub>S<sub>2</sub> sample

的XPS全谱图中可以看出，样品的表面主要存在Fe、Ni、S、N、C和O元素，其中C、N和O是由于测试仪器以及环境污染引入的元素。图3(b)为Fe元素的高分辨谱图，可以看出 $\text{Fe}2p$ 的光电子峰，其结合能分别为706.12和718.92 eV，这与晶格中 $\text{Fe}^{2+}$ 的结合能相一致<sup>[14]</sup>。图3(c)中 $\text{Ni}2p$ 轨道的光电子峰的结合能分别为852.60和870 eV，分别对应于 $\text{Ni}2p_{3/2}$ 和 $\text{Ni}2p_{1/2}$ ，说明该样品中Ni元素的价态为+2<sup>[18]</sup>。图3(d)中位于161.44和162.62 eV的光电子峰分别对应于 $\text{S}2p_{3/2}$ 和 $\text{S}2p_{1/2}$ ，说明S元素以 $\text{S}^{2-}$ 的形式存在<sup>[14]</sup>。

### 2.3 样品的形貌分析

图4为未掺杂 $\text{FeS}_2$ 与 $\text{Ni}_{0.125}\text{Fe}_{0.875}\text{S}_2$ 样品的FE-SEM照片。未掺杂时， $\text{FeS}_2$ (图4a)主要为球形颗粒，其粒径分布范围较宽(1~3  $\mu\text{m}$ )，并存在一定程度的团聚。与未掺杂的 $\text{FeS}_2$ 相比， $\text{Ni}_{0.125}\text{Fe}_{0.875}\text{S}_2$ 样品的形貌发生了较大的变化，样品变为由大量纳米粒子(粒径约为100 nm)组成的软团聚体，其颗粒大小分布较均匀(图4b)。由此可见， $\text{Ni}^{2+}$ 的掺入阻止了 $\text{FeS}_2$ 的晶粒生长，减小了 $\text{FeS}_2$ 样品的颗粒尺寸。小颗粒的光催化剂与大颗粒光催化剂相比，具有更大的比表面积和更好的光催化活性，因此掺入镍离子后，将有利于提高 $\text{FeS}_2$ 材料的光催化性能。



(a) Undoped  $\text{FeS}_2$ , (b)  $\text{Ni}_{0.125}\text{Fe}_{0.875}\text{S}_2$

图4 样品的FE-SEM照片

Fig.4 FE-SEM images of the samples:

### 2.5 样品的光吸收谱

未掺杂 $\text{FeS}_2$ 与 $\text{Ni}_{0.125}\text{Fe}_{0.875}\text{S}_2$ 样品的紫外-可见漫反射光谱如图5所示。从图中可以看出，未掺杂 $\text{FeS}_2$ 与 $\text{Ni}_{0.125}\text{Fe}_{0.875}\text{S}_2$ 样品在紫外和可见光区均有明显的吸收。掺入镍离子后，样品在紫外光区的吸收有所减弱，但其在可见光区的吸收明显增强，预示了掺杂镍离子样品可见光催化活性的提高。

### 2.6 光催化性能测试

为了研究镍离子掺杂对黄铜矿 $\text{FeS}_2$ 可见光催化性能的影响，对比了未掺杂 $\text{FeS}_2$ 与 $\text{Ni}_x\text{Fe}_{1-x}\text{S}_2(x=0.1, 0.125)$ 样品在可见光照射下对亚甲基蓝的降解效果(如图6)：可见光照射210 min后，空白对照样

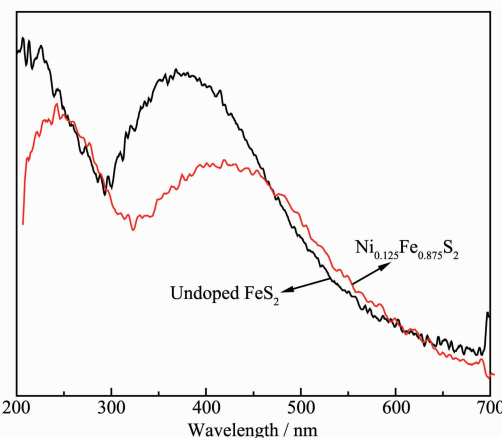


图5 未掺杂 $\text{FeS}_2$ 与 $\text{Ni}_{0.125}\text{Fe}_{0.875}\text{S}_2$ 样品的紫外-可见吸收光谱

Fig.5 UV-Vis diffuse reflectance spectra of the undoped  $\text{FeS}_2$  and  $\text{Ni}_{0.125}\text{Fe}_{0.875}\text{S}_2$  samples

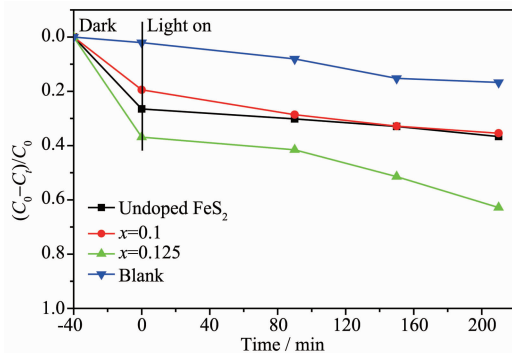


图6 未掺杂 $\text{FeS}_2$ 与 $\text{Ni}_x\text{Fe}_{1-x}\text{S}_2(x=0.1, 0.125)$ 样品的可见光光催化活性

Fig.6 Visible-light-driven photocatalytic performance of the undoped  $\text{FeS}_2$  and  $\text{Ni}_{0.125}\text{Fe}_{0.875}\text{S}_2$  samples

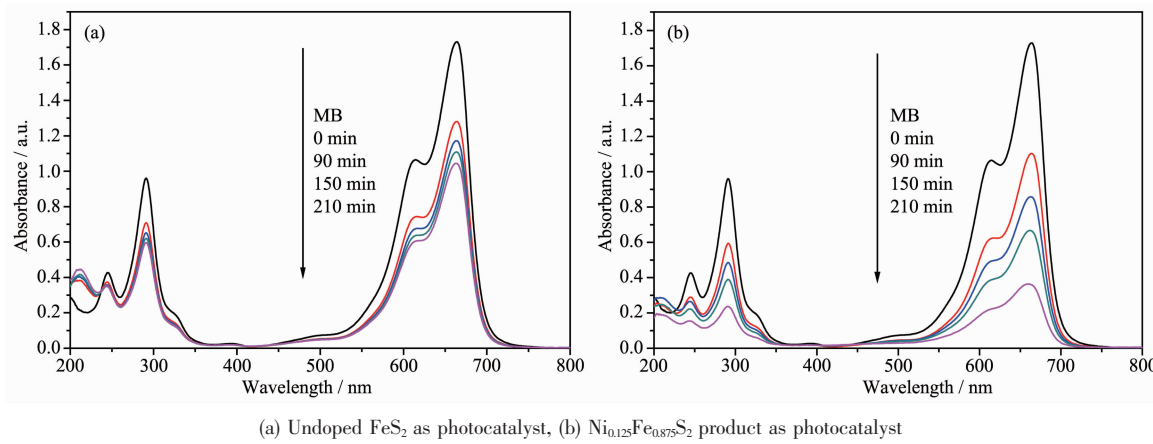
降解了16.7%，说明在可见光照下，亚甲基蓝自身也会发生一定的光降解；同等条件下以未掺杂 $\text{FeS}_2$ 作为光催化剂，可见光照射210 min后，亚甲基蓝的降解率为36.6%。当Ni的掺入量 $x$ 小于0.125，即 $x=0.1$ 时，掺杂样品的可见光催化活性与未掺杂 $\text{FeS}_2$ 的相差不大。但当Ni的掺入量 $x$ 为0.125时， $\text{FeS}_2$ 的光催化活性得到了很大提高：光照210 min后，亚甲基蓝的降解率达到62.8%，相比于未掺杂的 $\text{FeS}_2$ 样品，提高了26.2%，其催化效果也明显优于掺Co的 $\text{FeS}_2$ <sup>[16]</sup>。Ni的掺入量 $x$ 不同时， $\text{FeS}_2$ 样品光催化性能不同的原因如下：当Ni的掺入量 $x$ 为0.1时，没有达到合适的掺杂量，未能有效调控 $\text{FeS}_2$ 的带隙；而当Ni的掺入量 $x$ 为0.125时， $\text{FeS}_2$ 的带隙得到了有效的调控，同时催化剂的颗粒生长得到了有效抑制，样品的比表面积得到了很大提高，因而大幅

度地提高了FeS<sub>2</sub>的可见光催化活性。

掺入镍离子后FeS<sub>2</sub>样品可见光催化活性得到提高的原因如下:一方面,半导体光催化剂中掺入金属离子后,杂质金属可作为电子的有效受体,捕获从价带激发到导带的光生电子,阻止半导体光生电子与空穴的复合,从而提高半导体材料的可见光催化活性。此外,从Ni<sub>0.125</sub>Fe<sub>0.875</sub>S<sub>2</sub>样品的紫外-可见吸收光谱可知:掺入镍离子后,样品在紫外光区的吸收有所减弱,同时在可见光区的吸收明显增强,说明带隙得到有效的增加,如此不但增强了对可见光区光子的利用率,而且提高了对有机物的氧化电势,从而改善了FeS<sub>2</sub>的可见光催化活性。另一方面,

光催化材料的催化活性与材料的比表面积密切相关,掺入镍离子后,减小了FeS<sub>2</sub>样品的颗粒尺寸,增大了材料的比表面积,因此提高了FeS<sub>2</sub>样品的可见光催化活性。

图7是可见光下,以未掺杂FeS<sub>2</sub>和Ni<sub>0.125</sub>Fe<sub>0.875</sub>S<sub>2</sub>样品为光催化剂时,亚甲基蓝溶液随照射时间变化的吸收光谱图。从图7a可以看出,以未掺杂FeS<sub>2</sub>为催化剂时,随光照时间的增加,亚甲基蓝溶液的降解较为缓慢。当使用Ni<sub>0.125</sub>Fe<sub>0.875</sub>S<sub>2</sub>样品为光催化剂时,随着光照时间的增加,亚甲基蓝溶液的浓度不断下降(图7b),说明镍离子掺杂后,增强了FeS<sub>2</sub>光催化剂的可见光催化活性。



(a) Undoped FeS<sub>2</sub> as photocatalyst, (b) Ni<sub>0.125</sub>Fe<sub>0.875</sub>S<sub>2</sub> product as photocatalyst

图7 可见光下催化剂降解MB吸收光谱的变化

Fig.7 Absorbance changes of MB under visible-light irradiation

### 3 结 论

利用溶剂热法,合成了黄铁矿FeS<sub>2</sub>,但产物中伴有少量白铁矿的杂相;当每摩尔FeS<sub>2</sub>掺入0.1~0.125 mol的Ni<sup>2+</sup>时,促进了产物由白铁矿向黄铁矿的晶型转变,且产物由较大颗粒的微球转变成纳米球形颗粒团聚体。当Ni的掺杂量x达到0.2时,产物中出现了NiS<sub>2</sub>。随着Ni<sup>2+</sup>的掺入,样品的吸收带边明显红移,样品的可见光催化活性得到了有效改善。当掺入量x为0.125时,样品的可见光催化性能最好,其可见光下照射210 min后,亚甲基蓝溶液的降解率为62.8%,与未掺杂FeS<sub>2</sub>相比,其降解率提高了26.2%,其可见光催化活性明显优于文献报导的Co<sub>0.33</sub>Fe<sub>0.67</sub>S<sub>2</sub>的光催化活性。掺入镍离子后,黄铁矿可见光催化活性得到了有效改善的原因是:一方面,抑制了FeS<sub>2</sub>催化材料的电子和空穴的复合,拓宽了它的光响应范围,从而提高了其在可见光区光子的利用率;另一方面,掺入镍离子后,抑制了FeS<sub>2</sub>

样品的晶粒生长,提高了样品的比表面积。

### 参考文献:

- [1] WANG Ming-Xu(王明旭), YUE Guang-Hui(岳光辉), GEN Zhong-Rong(耿中荣), et al. *J. Synth. Cryst.*(人工晶体学报), **2007**,**36**(3):650-652
- [2] Ferrer I J, Sanchez C. *Solid State Commun.*, **1992**,**81**(5):371-374
- [3] QIU Bing(邱彬). *Thesis for the Doctorate of Beijing University of Technology*(北京工业大学博士学位论文), **2013**.
- [4] Ennaoui A, Fiechter S, Pettenkofer C, et al. *Sol. Energy Mater. Sol. Cells*, **1993**,**29**:289-370
- [5] Raturi A K, Waita S, Aduda B, et al. *Renewable Energy*, **1999**,**20**:37-43
- [6] Abass A K, Ahmed Z A, Samuel R M. *Phys. State Sol.*, **1990**,**120**:247-251
- [7] FENG Xu(冯旭), HE Xiang-Ming(何向明), PU Wei-Hua(蒲薇华), et al. *Progress in Chemistry*(化学进展), **2008**,**20**(2):396-404

- [8] Ding W, Wang X, Peng H F, et al. *Mater. Res. Bull.*, **2013**, **48**:4704-4710
- [9] Liu S L, Li M M, Li S, et al. *Appl. Surf. Sci.*, **2013**, **268**:213-217
- [10] CHEN Qing-Kong(陈晴空), JI Fang-Ying(吉芳英), GUAN Wei(关伟), et al. *J. Sichuan University*(四川大学学报), **2013**, **45**(5):192-198
- [11] Zhou B, Zhao X, Liu H, et al. *Appl. Catal., B*, **2010**, **99**(1): 214-221
- [12] Nair M G, Nirmala M, Rekha K, et al. *Mater. Lett.*, **2011**, **65**(12):1797-1800
- [13] ZHANG Hui (张辉), ZHANG Ren-Gang (张仁刚), WAN Dong-Yun(万冬云), et al. *Acta Energiae Solaris Sinica*(太阳能学报), **2006**, **27**(5):423-427
- [14] Xia J, Lu X H, Gao W, et al. *Electrochim. Acta*, **2011**, **56**: 6932-6939
- [15] Han J T, Huang Y H, Huang W. *Mater. Lett.*, **2006**, **60**:1805-1808
- [16] Long F, He J Y, Zhang M Y, et al. *J. Mater. Sci.*, **2015**, **50**: 1848-1854
- [17] Baruth A, Manno M, Narasimhan D, et al. *J. Appl. Phys.*, **2012**, **112**(5):054328
- [18] Nesbitt H W, Legrand D, Bancroft G M. *Phys. Chem. Miner.*, **2000**, **27**(5):357-366